

# بهینه‌سازی فرایند انعقاد الکتریکی برای حذف کروم (VI) با روش تاگوچی

سید محمد رضا علوی مقدم<sup>۱</sup>  
سید حسین هاشمی<sup>۴</sup>

مسعود اسدی حبیب<sup>۱</sup>  
مختار آرامی<sup>۳</sup>

(دریافت ۸۹/۱/۱۰ پذیرش ۸۹/۷/۲۰)

## چکیده

هدف از انجام این تحقیق، بهینه‌سازی فرایند انعقاد الکتریکی برای حذف کروم (VI) با استفاده از روش طراحی آزمایش (تاگوچی) بود. در این خصوص از یک راکتور حاوی شش الکترود موازی استفاده شد. تأثیر هفت پارامتر شامل جنس الکترود، جریان الکتریکی، زمان واکنش، pH اولیه، ولتاژ اولیه، غلظت اولیه کروم و دور همزن (شدت اختلاط) در دو سطح مختلف در فرایند انعقاد الکتریکی بررسی شد و در این رابطه از روش طراحی آزمایش تاگوچی مدل "OA\_32" استفاده گردید. درین این پارامترها، بیشترین تأثیر مربوط به پارامترهای شدت جریان الکتریکی و جنس الکترود و کمترین تأثیر مربوط به دور همزن بود. طبق نتایج این تحقیق، بیشترین میزان حذف کروم (۱۶۸/۳۳ میلی گرم در لیتر) در شرایط "الکترود آهنی، جریان الکتریکی ۳ آمپر، زمان واکنش ۲۰ دقیقه، pH اولیه ۴، ولتاژ اولیه ۶ ولت و غلظت اولیه کروم ۴۰۰ میلی گرم در لیتر و دور همزن صفر" حاصل شد.

**واژه‌های کلیدی:** کروم شش ظرفیتی، انعقاد الکتریکی، بهینه سازی، روش تاگوچی

## Optimization of the Electrocoagulation Process for Removal of Cr(VI) Using Taguchi Method

Masoud Asadi Habib<sup>1</sup> Seyed Mohammad Reza Alavi Moghaddam<sup>2</sup>  
Mokhtar Arami<sup>3</sup> Seyed Hossein Hashemi<sup>4</sup>

(Received Apr. 9, 2010 Accepted Oct. 12, 2010)

### Abstract

The aim of this study was to optimize electrocoagulation process for removal of chromium (VI) using Taguchi method. An elecrtrocoagulation reactor with six parallel electrodes was used in this study. For this purpose, effects of 7 parameters such as electrode material, electric current, time of reactions, initial pH, initial voltage, initial chromium concentration and rpm of impeller (agitation intensity) in two different levels were studied. Model of "OA\_32" of Taguchi experimental design method was used. Among the above-mentioned parameters, electric current and electrode material had highest effects and rpm of impeller had the lowest effect on the electrocoagulation performance. According to the obtained results, highest chromium removal (168.33 mg/L) observed in the following conditions: electric current=3A, time of reaction=20min, initial pH=4, initial voltage=6v, initial chromium concentration=400mg/L, rpm of impeller=0rpm and iron as electrode material

**Keywords:** Chromium (VI), Electrocoagulation, Optimization, Taguchi Method.

- 1- کارشناس ارشد مهندسی عمران و محیط زیست، دانشگاه صنعتی امیر کبیر، تهران
- 2- دانشیار دانشکده مهندسی عمران- محیط زیست، دانشگاه صنعتی امیر کبیر، تهران  
(نویسنده مسئول) (۰۲۱) ۶۴۵۴۳۰۰۷
- 3- دانشیار دانشکده مهندسی نساجی، دانشگاه صنعتی امیر کبیر، تهران
- 4- استادیار پژوهشکده علوم محیطی، دانشگاه شهید بهشتی، تهران

## ۱- مقدمه

مطالعات زیادی در زمینه حذف کروم از محیط آبی به روش انعقاد الکتریکی صورت گرفته است که همگی نشانگر بازدهی بالای این روش هستند [۲، ۴، ۶ و ۱۰]. از طرفی مطالعات نشان می‌دهد که روش مورد بحث بازدهی بالایی در حذف سایر فلزات سنگین از جمله آرسنیک، مس، سرب، کadmیم، نیکل و نقره دارد [۳-۷-۵].

در این مطالعه از روش طراحی آزمایش تاگوچی استفاده شد. در این روش هر سیستم با پارامترهای مستقل و سطوح مختلف مورد مطالعه قرار می‌گیرد و دارای کاربردهای فراوانی از علم شیمی تا مهندسی است [۱۸ و ۲۲]. به عبارتی دیگر، این روش مشخص کردن اثر پارامترهای مستقل و ارتباط بین متغیرها را ساده می‌کند [۲۳]. از فواید دیگر این روش می‌توان به حداقل بودن هزینه آزمایش‌ها، حداقل بودن تغییرات در مقادیر پاسخ و قابل کاربرد بودن نتایج در کارهای عملی اشاره کرد [۱۸].

هدف از انجام این تحقیق، بهینه‌سازی پارامترهای مؤثر در بازدهی فرایند انعقاد الکتریکی برای حذف کروم (VI) بود. برای نیل به این هدف از روش طراحی آزمایش تاگوچی استفاده شد.

## ۲- مواد و روشها

در این تحقیق راکتور آزمایش انعقاد الکتریکی از جنس پلکسی گلس<sup>۱</sup> به حجم مفید ۲۵۰۰ میلی‌لیتر و با ابعاد ۱۴۵×۱۵۰×۲۲۵ میلی‌متر ساخته شد. تیغه‌های مورد استفاده برای الکترودها از جنس آهن نرم ST-12 و آلومینیوم ۳۰۰۰<sup>۲</sup> بود. ابعاد این تیغه‌ها ۱۲۵×۵۵×۳ میلی‌متر بوده و در هر آزمایش از شش الکترود به صورت موازی استفاده شد. فاصله بین تیغه‌ها در همه آزمایش‌ها ثابت و برابر ۲ سانتی‌متر تنظیم گردید. برای هم‌زدن محلول، از یک پروانه به طول ۱۱۰ و ارتفاع ۷ میلی‌متر از جنس فولاد ضد اسید و ضذنگ ST\_316 استفاده شد. برای تأمین انرژی الکتریکی آزمایش‌ها از یک منبع تغذیه جریان برق مستقیم دیجیتالی<sup>۳</sup> استفاده شد که جریان الکتریکی را به صورت تک پله<sup>۳</sup> به تیغه‌ها می‌رساند. راکتور مورد استفاده در این تحقیق در شکل ۱ نمایش داده شده است.

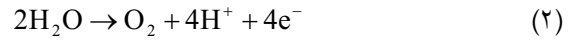
در کلیه آزمایش‌ها آب دوبار تقطیر به همراه نمک کلرید سدیم خالص (برای افزایش رسانایی محلول) به عنوان الکتروولیت مورد استفاده قرار گرفت. محلول استوک کروم شش ظرفیتی با حل کردن مقدار معینی از پودر دی‌کرومات پتابسیم در آب دوبار تقطیر به دست آمد. علت استفاده از آب مقتدر برای ساخت محلول کروم شش ظرفیتی بررسی حذف این فلز بدون تداخل سایر مواد بود که

روش انعقاد الکتریکی روشی مؤثر و مطمئن است که می‌تواند به عنوان یک شیوه پاک و سالم در حذف برخی آلاینده‌های محیط زیستی به کار رود [۱-۳]. این فرایند بدون اضافه کردن هیچ نوع ماده شیمیایی عمل کرده و بنابراین میزان لجن تولیدی را کاهش می‌دهد [۶-۴]. خصوصیات مثبت روش انعقاد الکتریکی عبارت اند از: طابق‌پذیری با شرایط مختلف، قابلیت انتخابگری، قابلیت تنظیم خودکار، سازگاری با شرایط زیست محیطی، تجهیزات ساده، زمان ماند پایین، بهره‌برداری آسان و نیز قابلیت تصفیه دامنه وسیعی از آلاینده‌ها [۷ و ۸].

به دلیل اهمیت روش انعقاد الکتریکی در سالهای اخیر مطالعات وسیعی در این زمینه انجام گرفته است که بخشی از این فعالیتها متعلق به ایران است [۲ و ۱۵-۹]. این در حالی است که مطالعات کمتری در خصوص به کارگیری روشهای طراحی آزمایش در حذف آلاینده‌های مختلف توسط فرایند انعقاد الکتریکی صورت پذیرفته است.

روابط کلی فرایند انعقاد الکتریکی به شرح زیر است [۲ و ۶ و ۹ و ۱۶]

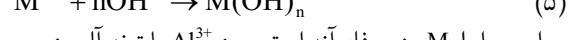
(الف) در آند



(ب) در کاتد



(ج) واکنش یون‌های فلزی تولید شده در آند با یون‌های هیدروکسیل تولید شده در کاتد و تولید هیدروکسید فلز (۵)



در این روابط M جنس فلز آند است. یون Al<sup>3+</sup> با تیغه آلامینیومی و یون Fe<sup>2+</sup> با تیغه آهنی ایجاد می‌گردد [۱۰ و ۱۷ و ۱۸]. آهن و آلامینیوم به دلیل قیمت مناسب و دسترسی آسان بیشترین استفاده در انعقاد الکتریکی را دارند [۱۸]. هیدروکسید فلزات مذکور باعث انعقاد و ایجاد لخته و در نتیجه حذف آلاینده مورد نظر می‌گرددند [۱۷].

یکی از کاربردهای روش انعقاد الکتریکی حذف کروم از محیط‌های آبی است. فلز سنگین کروم به عنوان ماده‌ای سمی شناخته شده که دارای پتانسیل سرطان‌زای است. کروم شش ظرفیتی توسط واحدهای مختلف صنعتی مانند صنایع آبکاری و پرداخت فلزات، تولید کرومات، دباغی‌ها و تولید کود شیمیایی وارد محیط زیست می‌شود [۲۱ و ۲۲]. ایران یکی از کشورهایی است که در معرض آلودگی زیست‌محیطی توسط فلز کروم قرار دارد [۲۱-۱۹].

<sup>1</sup> Plexi Glass  
<sup>2</sup> Micro\_PW\_4053R  
<sup>3</sup> Monopolar

که در این رابطه

V ولتاژ بین دو الکترود بر حسب ولت، A سطح فعال الکترود بر حسب متر مربع، I شدت جریان الکتریکی بر حسب آمپر، d فاصله<sup>۲</sup> دو الکترود بر حسب متر، k ضریب هدایت الکتریکی ویژه محلول<sup>۳</sup> بر حسب میلی زیمنس بر متر است.

به علت ثابت بودن سطح و فاصله الکتروودها، با حل کردن کلرید سدیم (بالا بردن هدایت الکتریکی ویژه محلول)، ولتاژ و شدت جریان الکتریکی بهمیزان مورد نظر تنظیم می شد. پس از تنظیم این دو پارامتر، شدت جریان الکتریکی که حساسیت بالایی دارد ثابت نگهداشته شده و به ولتاژ اجازه داده می شد که آزادانه با تغییر ماهیت محلول در طی انجام فرایند انعقاد الکتریکی تغییر نماید.

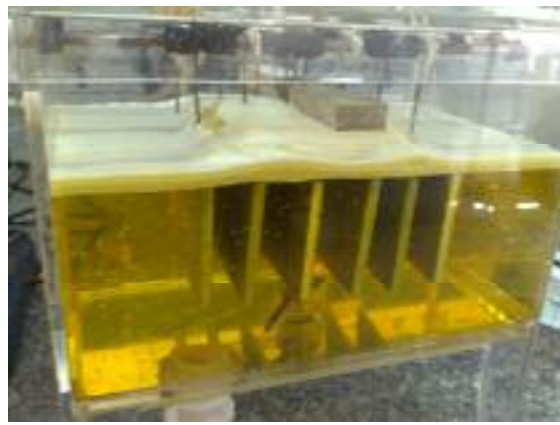
برای همگن شدن محلول نهایی به خصوص در آزمایش هایی که دور همزن صفر بود، ۵ دقیقه بعد از اتمام آزمایش، محلول داخل راکتور به مدت ۱۰ ثانیه با سرعت ۱۰۰ دور بر دقیقه بهم زده شد و نمونه های لازم برای آنالیز برداشته شد.

برای تشریح بهتر نتایج حاصل از این تحقیق، تأثیر هر پارامتر به ازای میزان حذف کروم در هر مرحله بر حسب میلی گرم در لیتر گزارش شد. مشابه این کار را در سایر تحقیقات نیز می توان مشاهده نمود [۱، ۴ و ۶].

برای اندازه گیری کروم شش ظرفیتی از دستگاه اسپکترو فوتومتر هج هدیل DR 4000U طبق روش استاندارد متد استفاده شد. فیلتر کردن محلول نهایی آزمایش ها و ذخیره سازی نمونه ها نیز طبق روش های کتاب استاندارد متد انجام گرفت [۲۵].

در این تحقیق از روش طراحی آزمایش تاگوچی و مدل "OA\_32" استفاده شد. در جدول پیشنهادی این مدل برای ترکیب آزمایش ها، ۳۱ ستون برای اختصاص به پارامترهای مختلف وجود دارد که در این تحقیق، هفت ستون آن برای پارامترهای اصلی در نظر گرفته شد. همچنین به ازای هر دو پارامتر اصلی، ستونی اختصاص داده شد که تداخل بین آنها را نشان دهد. اما به دلیل محدودیت در اختصاص ستون برای تداخل ها، به ناچار در سه ستون، تداخل دو پارامتر به صورت مشترک قرار گرفت. شش ستون باقی مانده نیز به صورت ستون خطأ در نظر گرفته شدند که نه پارامتری به آنها اختصاص یافت و نه اثر تداخلی در آنها ظاهر گردید. پس باید اثر این شش ستون در هنگام تحلیل نتایج صفر باشد که همین موضوع می تواند برای اطمینان از صحت نتایج آزمایش ها استفاده شود.

پس از انجام ۳۲ آزمایش پیشنهادی توسط روش تاگوچی و تحلیل نتایج، شرایط بهینه حذف مشخص شد. برای مشخص



شکل ۱- راکتور انعقاد الکتریکی استفاده شده در این تحقیق

در برخی تحقیقات دیگر نیز از این روش استفاده شده است [۲، ۴، ۶ و ۱۰]. برای تنظیم pH از محلولهای اسید سولفوریک و هیدروکسید سدیم در غلظتهاي ۱ و ۰/۱ نرمال و برای اندازه گیری آن از دستگاه pH متر<sup>۱</sup> استفاده شد. کلیه آزمایش های این تحقیق در دمای محیط انجام شد.

در این تحقیق، تأثیر ۷ پارامتر مهم در فرایند انعقاد الکتریکی در حذف کروم (VI) در نظر گرفته شد که سطوح انتخابی هر یک از آنها برای ارائه به روش تاگوچی در جدول ۱ ارائه شده است.

جدول ۱- پارامترها و سطوح انتخاب شده در این تحقیق

شماره	پارامتر	واحد	سطح ۱	سطح ۲	سطوح انتخابی
۱	شدت جریان الکتریکی	A	۱	۳	V
۲	ولتاژ اولیه	V	۳	۶	۱
۳	غلظت اولیه آلینده	mg/L	۲۰۰	۴۰۰	۰/۱
۴	زمان واکنش	min	۱۰	۲۰	۱۰
۵	جنس الکترود	-	Fe	Al	(محیط) (اسیدی) (قلیابی)
۶	pH اولیه	-	۴	۶	۰
۷	تعداد دور همزن (شدت اختلاط)	rpm	۰	۱۰۰	۱۰

برای تنظیم ولتاژ اولیه و شدت جریان الکتریکی از رابطه ۶ استفاده شد. طبق این رابطه در یک سلول الکتروشیمیایی، ولتاژ به شدت جریان الکتریکی، رسانایی محلول، فاصله و سطح الکتروودها وابسته است [۱۶، ۱۷ و ۲۴]

$$V = Id / Ak \quad (6)$$

<sup>۱</sup> 340i/SET-WTW

<sup>۲</sup> Specific Conductivity of the Solution  
HACH

مشابه این کار را در سایر تحقیقات نیز می‌توان مشاهده نمود [۴، ۵].

در این جدول ۲ میانگین حذف در ۳۲ مرحله برابر ۵/۵ میلی‌گرم در لیتر است که کمترین میزان حذف برابر ۵/۵ میلی‌گرم در لیتر در مرحله شانزدهم و بیشترین میزان در مرحله بیستم و برابر ۱۶۵ میلی‌گرم در لیتر است.

با تحلیل نتایج جدول ۲ طبق روش تاگوچی میزان اثر هر پارامتر به دست می‌آید که داده‌های مربوط به آن به صورت نزولی تنظیم و در شکل ۲ ارائه شده است. همانطور که از شکل ۲ مشخص است از بین ۷ پارامتر اصلی،

شدن مقدار حداقل حذف، آزمایش در شرایط بهینه (بیشینه) سه بار تکرار شد و میانگین این سه نتیجه در این تحقیق گزارش شد.

### ۳- نتایج و بحث

پس از طراحی آزمایش‌ها در روش تاگوچی برای هفت پارامتر، ۳۲ مرحله آزمایش طبق ترکیب ارائه شده توسط مدل "OA\_32" به انجام رسید. در جدول ۲ مشخصات این آزمایش‌ها و نتیجه هر مرحله (آخرین ستون جدول) نشان داده شده است. برای تشریح بهتر نتایج حاصل از این تحقیق، تأثیر هر پارامتر به ازای میزان حذف کروم در هر مرحله بر حسب میلی‌گرم در لیتر گزارش شد.

جدول ۲- ترکیب آزمایش‌های پیشنهاد شده توسط روش تاگوچی و نتایج حاصل

نتایج	پارامترها								مرحله
	میزان حذف Cr <sup>6+</sup> (mg/L)	pH اولیه	ولتاژ اولیه (V)	دور همزن (rpm)	Cr <sup>6+</sup> غلظت اولیه (mg/L)	جریان (A)	زمان واکنش (min)	جنس الکترود	
۶	۴	۳	.	۱۰۰	۲۰۰	۱	۱۰	Al	۱
۱۴/۵	۱۰	۶	.	۱۰۰	۴۰۰	۱	۱۰	Al	۲
۱۸	۱۰	۶	.	۱۰۰	۲۰۰	۳	۱۰	Al	۳
۵۲/۵	۴	۳	۱۰۰	۱۰۰	۴۰۰	۳	۱۰	Al	۴
۱۰	۱۰	۳	۱۰۰	۱۰۰	۲۰۰	۱	۱۰	Al	۵
۲۰	۴	۶	.	۱۰۰	۴۰۰	۱	۱۰	Al	۶
۴۰/۵	۴	۶	۱۰۰	۱۰۰	۲۰۰	۳	۱۰	Al	۷
۱۸/۵	۱۰	۳	.	۱۰۰	۴۰۰	۳	۱۰	Al	۸
۴۷/۵	۴	۳	.	۱۰۰	۲۰۰	۳	۲۰	Al	۹
۴۸	۱۰	۶	۱۰۰	۱۰۰	۴۰۰	۳	۲۰	Al	۱۰
۹	۱۰	۶	.	۱۰۰	۲۰۰	۱	۲۰	Al	۱۱
۴۱	۴	۳	۱۰۰	۱۰۰	۴۰۰	۱	۲۰	Al	۱۲
۲۶	۱۰	۳	۱۰۰	۱۰۰	۲۰۰	۳	۲۰	Al	۱۳
۱۰۳/۵	۴	۶	.	۱۰۰	۴۰۰	۳	۲۰	Al	۱۴
۳۷/۵	۴	۶	۱۰۰	۱۰۰	۲۰۰	۱	۲۰	Al	۱۵
۵/۵	۱۰	۳	.	۱۰۰	۴۰۰	۱	۲۰	Al	۱۶
۷۴/۵	۴	۳	.	۱۰۰	۲۰۰	۱	۲۰	Fe	۱۷
۱۵	۱۰	۶	۱۰۰	۱۰۰	۴۰۰	۱	۲۰	Fe	۱۸
۱۱۵/۵	۱۰	۶	.	۱۰۰	۲۰۰	۳	۲۰	Fe	۱۹
۱۶۵	۴	۳	۱۰۰	۱۰۰	۴۰۰	۳	۲۰	Fe	۲۰
۴۲/۵	۱۰	۳	۱۰۰	۱۰۰	۲۰۰	۱	۲۰	Fe	۲۱
۸۰	۴	۶	.	۱۰۰	۴۰۰	۱	۲۰	Fe	۲۲
۱۴۵/۵	۴	۶	۱۰۰	۱۰۰	۲۰۰	۳	۲۰	Fe	۲۳
۱۲۲/۵	۱۰	۳	.	۱۰۰	۴۰۰	۳	۲۰	Fe	۲۴
۱۰۱/۵	۴	۳	.	۱۰۰	۲۰۰	۳	۱۰	Fe	۲۵
۷۲	۱۰	۶	۱۰۰	۱۰۰	۴۰۰	۳	۱۰	Fe	۲۶
۲۸	۱۰	۶	.	۱۰۰	۲۰۰	۱	۱۰	Fe	۲۷
۴۸	۴	۳	۱۰۰	۱۰۰	۴۰۰	۱	۱۰	Fe	۲۸
۷۳/۵	۱۰	۳	۱۰۰	۱۰۰	۲۰۰	۳	۱۰	Fe	۲۹
۱۲۹	۴	۶	.	۱۰۰	۴۰۰	۳	۱۰	Fe	۳۰
۴۹/۵	۴	۶	۱۰۰	۱۰۰	۲۰۰	۱	۱۰	Fe	۳۱
۱۶	۱۰	۳	.	۱۰۰	۴۰۰	۱	۱۰	Fe	۳۲

همانطور که از شکل ۳ مشخص است، الکترودهای آهنی میزان حذف بیشتری نسبت به الکترودهای آلومینیومی داشته‌اند. این نتیجه در سایر تحقیقات نیز حاصل شده است [۹، ۱۰ و ۱۱]. در تحقیق انجام شده توسط بذرافشان و همکاران که بدون طراحی آزمایش صورت گرفته، بیشترین و کمترین میزان حذف کروم با تیغه آهنی به ترتیب  $100 \text{ mg/L}$  و  $47 \text{ mg/L}$  درصد به دست آمده است که این مقادیر برای تیغه آلومینیومی به ترتیب برابر  $99/9$  و  $8/8 \text{ mg/L}$  درصد گزارش شده است [۲].

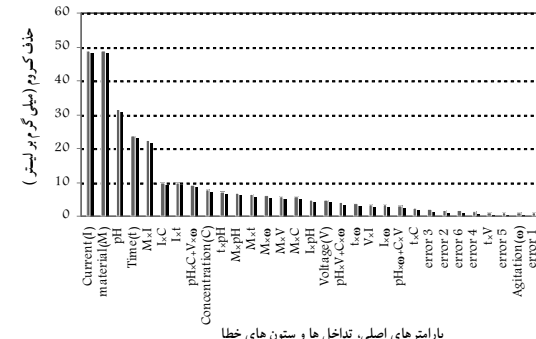
همچنین از شکل ۳ می‌توان دریافت که میزان حذف کروم در محیط اسیدی ( $\text{pH}=4$ ) بیشتر از محیط بازی ( $\text{pH}=10$ ) بوده است. این نتیجه نیز در سایر تحقیقات حاصل شده است [۱۰ و ۱۴]. در تحقیق انجام شده توسط بذرافشان و همکاران که با سطح  $\text{pH}$  انجام شده است، بیشترین و کمترین میزان حذف کروم در محیط اسیدی ( $\text{pH}=3$ ) به ترتیب  $100 \text{ mg/L}$  و  $21/8 \text{ mg/L}$  درصد به دست آمده است که این مقادیر برای محیط بازی ( $\text{pH}=10$ ) به ترتیب برابر  $99/96$  و  $8/8 \text{ mg/L}$  درصد بوده است [۲].

از طرفی نتایج این تحقیق نشان داد با افزایش میزان جریان الکتریکی، زمان واکنش و غلظت اولیه آلاند، میزان حذف بیشتری حاصل شده است؛ این نتایج را نیز در سایر تحقیقات می‌توان مشاهده نمود [۱، ۲، ۶ و ۱۰].

با استفاده از شکل ۳ می‌توان با توجه به رفتار پارامترها در حذف کروم، مقدار هر پارامتر را در شرایط بهینه حذف (در این مطالعه) پیدا کرد. این شرایط عبارت اند از: الکترودها از جنس آهن، جریان الکتریکی  $3 \text{ A}$ ، زمان واکنش  $20 \text{ s}$ ،  $\text{pH}=4$ ، اولیه برابر  $4 \text{ mg/L}$ ، ولتاژ اولیه  $6 \text{ V}$  و لولت، غلظت اولیه کروم  $400 \text{ mg/L}$  در لیتر و دور همزن برابر صفر. با مشخص شدن شرایط بهینه حذف، برای رسیدن به حالت بهینه یعنی بیشترین مقدار حذف کروم شش ظرفیتی، سه بار متوالی آزمایش در این شرایط انجام شد. میانگین این سه عدد برابر  $168/33 \text{ mg/L}$  می‌گرم در لیتر با انحراف معیار و واریانس برابر  $1/53$  و  $2/33 \text{ mg/L}$  به دست آمد. این میزان حذف کروم از بیشترین عدد به دست آمده از آزمایش‌های اولیه در جدول ۲ ( $165 \text{ mg/L}$  بر لیتر) بیشتر بود که نشان دهنده بیشترین میزان حذف کروم شش ظرفیتی در این تحقیق است.

#### ۴- نتیجه‌گیری

این تحقیق با هدف بهینه‌سازی حذف کروم شش ظرفیتی به روش طراحی آزمایش تاگوچی (مدل "OA\_32") انجام شد و در آن ۷ پارامتر شامل جنس الکترود، جریان الکتریکی، زمان واکنش،  $\text{pH}$  اولیه، ولتاژ اولیه، غلظت اولیه کروم و دور همزن (شدت اختلاط) مورد بررسی قرار گرفت. نتایج نشان داد که مهم‌ترین پارامترها در



شکل ۲- رتبه‌بندی پارامترها، تداخل‌ها و ستون‌های خطای  $\text{Cr}^{+6}$  در این تحقیق

بیشترین اثر به شدت جریان الکتریکی و پس از آن با اختلاف کمی به جنس الکترود مربوط است. بعد از این دو پارامتر،  $\text{pH}$  اولیه و زمان واکنش قرار دارند و پارامترهای غلظت اولیه کروم و ولتاژ اولیه، اثرگذاری کمتری نسبت به پارامترهای مذکور نشان می‌دهند. همچنین میزان اثرگذاری دور همزن (شدت اختلاط) در مقایسه با سایر پارامترها ناچیز به نظر می‌رسد. موقعیت اثر ستون‌های خطای (error1-6) در بین پارامترها نشان می‌دهد که آزمایش‌ها از دقت قابل قبولی برخوردار بوده‌اند، طوری که اثر این ستون‌ها مقدار ناچیزی بوده و در محدوده انتهای رتبه‌بندی پارامترها قرار گرفته‌است. در شکل ۲ قدر مطلق اختلاف اثر دو سطح هر پارامتر نشان داده شده است که اهمیت آن را در کنار سایر پارامترها و نیز در مقایسه با مقادیر به دست آمده برای ستون‌های خطای نشان می‌دهد. اما برای مشخص شدن شرایط بهینه حذف باید میزان اثر هر دو سطح پارامترها در کنار هم معین باشد که این مقادیر بر حسب میزان حذف کروم (میلی‌گرم در لیتر) در شکل ۳ نشان داده شده است.



شکل ۳- میزان اثر دو سطح پارامترهای اصلی بر حسب میزان حذف کروم (میلی‌گرم در لیتر)

برای تشریح فرایند انعقاد الکتریکی با پارامترهای متفاوت به کار رود.

### ۵- پیشنهاد

از آنجاکه روش‌های طراحی آزمایش با در نظر گرفتن همه شرایط و با دقت بالا به بررسی یک پدیده می‌پردازد، لذا ضروری است تحقیقات دیگری با در نظر گرفتن سطوح بیشتر برای پارامترهای مؤثر در انعقاد الکتریکی به کمک این روشها صورت پذیرد.

### ۶- قدردانی

نویسنده‌گان این مقاله از معاونت پژوهشی دانشگاه صنعتی امیرکبیر به دلیل حمایت از این تحقیق تشکر و قدردانی می‌نمایند. همچنین این کار علمی مرهون زحمات و راهنمایی‌های خانم‌ها مهندس مریم اکبری و مهندس لیدا عزالدین‌لو کارشناسان محترم آزمایشگاه محیط زیست و شیمی مصالح دانشکده مهندسی عمران و محیط زیست دانشگاه صنعتی امیرکبیر، آقایان مهندس رضا قانی و دکتر علیرضا تهرانی بقا می‌باشد که از همه این همکاران محترم کمال تقدير و تشکر به عمل می‌آید.

حذف آلاینده مذکور، شدت جریان الکتریکی و جنس الکترود و کم اهمیت ترین آنها دور همزن (شدت اختلاط) است. حذف کروم با افزایش پارامترهای جریان الکتریکی، زمان واکنش، غلظت اولیه pH و ولتاژ اولیه افزایش یافته و این موضوع در مورد pH بر عکس بود. همچنین نتایج حاصل از این تحقیق نشان داد که تاثیر تیغه‌های آهنی در حذف کروم بیشتر از آلومینیوم است. با انجام آزمایش‌های مشخص شده توسط طراحی آزمایش تاگوچی، شرایط بهینه (حداکثر حذف کروم بر حسب میلی‌گرم در لیتر) در این تحقیق مشخص شد که عبارت بود از: الکترودها از جنس آهن، جریان الکتریکی ۳ آمپر، زمان واکنش ۲۰ دقیقه، pH اولیه برابر ۴، ولتاژ اولیه ۶ ولت، غلظت اولیه کروم ۴۰۰ میلی‌گرم در لیتر و دور همزن برابر صفر. با انجام آزمایش در این شرایط میزان حذف کروم  $\frac{168}{33}$  میلی‌گرم در لیتر حاصل شد که از همه اعداد حاصل شده از آزمایش‌های مدل OA\_32 بیشتر بود و پیش‌بینی مدل را تأیید می‌نمود.

با در نظر گرفتن کلیه داده‌های حاصل از این تحقیق می‌توان دریافت که به کار بردن روش طراحی آزمایش تاگوچی قادر است

### ۷- مراجع

- 1- Mouedhena, G., Feki, M., Wery, M.P., and Ayedi, H.F. (2008). "Behavior of aluminum electrodes in electrocoagulation process." *J. Hazardous Materials*, 150, 124-135.
- 2- Bazrafshan, E., Mahvi, A. H., Naseri, S., and Mesdaghinia, A. R. (2008). "Performance evaluation of electrocoagulation process for removal of chromium (VI) from synthetic chromium solutions using iron and aluminum electrodes." *Turkish J. of Engineering and Environmental Science*, 32, 1-8.
- 3- Escobar, C., Soto-Salazar, C., and Toral, M. (2006). "Optimization of the electrocoagulation process for the removal of copper, lead and cadmium in natural waters and simulated wastewater." *J. of Environmental Management*, 181 (4), 384-391.
- 4- Heidmann, I., and Calmano, W. (2008). "Removal of Cr (VI) from model wastewaters by electrocoagulation with Fe electrodes." *J. Separation and Purification Technology*, 61(1), 15-21.
- 5- Gomes, J. A.G., Daida, P., Kesmez, M., Weir, M., Moreno, H., Parga, J. R., Irwin, G., Whinney, H., Grady, T., Peterson, E., and Cocke, D. L. (2007). "Arsenic removal by electrocoagulation using combined Al-Fe electrode system and characterization of products." *J. Hazardous Materials*, 139(2), 220-231.
- 6- Heidmann, I., and Calmano, W. (2008). "Removal of Zn(II), Cu(II), Ni(II), Ag(I) and Cr(VI) present in aqueous solutions by aluminium electrocoagulation." *J. Hazardous Materials*, 152, 934-941.
- 7- Merzouk, B. (2008). "Removal turbidity and separation of heavy metals using electrocoagulation-electroflotation technique. A case study." *J. of Hazardous Material*, 228(1-3), 245-254.
- 8- Meunier, N., Drogui, P., Montan'e, C., Hausler, R., Mercier, G., Franc, J., and Blais, O. (2006). "Comparison between electrocoagulation and chemical precipitation for metals removal from acidic soil leachate." *J. Hazardous Materials*, 137, 581-590.
- 9- Modirshahla, N., Behnajady, M.A., and Mohammadi-Aghdam, S. (2008). "Investigation of the effect of different electrodes and their connections on the removal efficiency of 4-nitrophenol from aqueous solution by electrocoagulation." *J. of Hazardous Materials*, 154(1-3), 778-786.

- 10- Aber, S., Amani-Ghadim, A.R., and Mirzajani, V. (2009). "Removal of Cr(VI) from polluted solutions by electrocoagulation: Modeling of experimental results using artificial neural network." *J. Hazardous Materials*, 171(1-3), 484-490.
- 11- Jafarzadeh, N., and Daneshvar, N. (2006). "Treatment textile wastewater containing basic dyes by electrocoagulation process." *J. of Water and Wastewater*, 57, 22-29. (In Persian)
- 12- Kashefiol-Asl, M., Khosravi, M., Mardani, R., Seyyedi, K., and Khataei, A. (2005). "Investigation of treatment of yellow basic 2 in wastewater by electrocoagulation." *J. of Environmental Sciences and Tech.*, 26, 66-76. (In Persian)
- 13- Rahmani, A. R., and Samarghandi, M. R. (2009). "Electrocoagulation treatment of color solution containing colored index Eriochrom Black T." *J. of Water and Wastewater*, 69, 52-58. (In Persian)
- 14- Mahvi, A. H., Bazrafshan, E., Mesdaghinia, A. R., Nasseri, S., and Vaezi, F. (2007). "Chromium (C<sup>+6</sup>) removal from aqueous environments by electrocoagulation process using Aluminum electrodes." *J. of Water and Wastewater*, 62, 28-34. (In Persian)
- 15- Saeedi, M., and Khalvati Fahlyain, A. (2010). "COD production in effluent from southern Pars gas refinery using electrocoagulation." *J. of Water and Wastewater*, 73, 40-48. (In Persian)
- 16- Mollah, M. Y. A., Morkovsky, P., Gomes, J. A., Kesmez, M., Parga, J., and Cocke, D. L. (2004). "Fundamentals, present and future perspectives of electrocoagulation." *J. Hazardous Materials*, 114(1-3), 199-210.
- 17- Mollah, M. Y. A., Schennach, R., Parga, J. R., and Cocke, D. L. (2001). "Electrocoagulation (EC)- Science and applications." *J. Hazardous Materials*, 84(1), 29-41.
- 18- Yildiz, Y. S. (2008). "Optimization of bromophenol red CR-L dye removal from aqueous solution by electrocoagulation using aluminum electrodes." *J. Hazardous Materials*, 153(1-2), 194-200.
- 19- Khorasani, N., Shaygan, J., and Karimi Shahri, N. (2005). "A Survey on heavy metal concentration in the upper sediment layers of Bandar Abbas coasts." *J. of Iranian Natural Resources*, 58 (4), 861-869.
- 20- Azad Shahraki, S., Ahmadi-Moghadam, A., Naseri, F., and Esmaeil Zadeh, A. (2007). "Study the accumulation of Co, Ni and Cr in artemisia aucheri around sarcheshme copper complex, Iran." *Tertiary Conf. of Practical geology and environment*, Azad Islamic University, Islamshahr. (In Persian)
- 21- Shapouri, V., Alavi Moghadam, M. R. M. R., and Ebadi, T. (2006). "A Laboratory study on stabilization solidification of sludge in electroplating industries." 11<sup>th</sup> Cong. of Iranian National Chemical Eng., Tarbiat Modares University, Terhan, 85-94. (In Persian)
- 22- Roy, R. (1990). *A primer on the Taguchi method*, 1<sup>st</sup> Ed., Society of Manufacturing, Michigan.
- 23- Mohapatra, P. K. D., Maity, C., Rao, R. S., Pati, B. R., and Mondal, K. C. (2009). "Tannase production by bacillus licheniformis KBR6: Optimization of submerged culture conditions by Taguchi DOE methodology." *J. of Food Research International*, 42(4), 430-435.
- 24- Pretorius, W. A., Johannes, W. G., and Lempert, G. (1991). "Electrolytic Iron flocculant production with a bipolar electrode in series arrangement." *J. Water SA.*, 17(2), 133-138.
- 25- Eaton, A. D., Clesceri, L. S., Rice, E. W., and Greenberg, A. E. (2005). *Standard methods for the examination of water and wastewater*, 21<sup>st</sup> Ed., American Public Health Association, USA.